



KATEDRA INFORMATIKY
FAKULTA MATEMATIKY, FYZIKY A INFORMATIKY
UNIVERZITA KOMENSKÉHO, BRATISLAVA

APROXIMAČNÉ ALGORITMY
NA URČENIE PRIESEČNÍKOVÉHO ČÍSLA GRAFOV

(bakalárska práca)

MARTIN NÁMEŠNÝ

Vedúci: doc. RNDr. Rastislav Kráľovič, PhD

Bratislava, 2008

Čestne prehlasujem, že som túto diplomovú prácu
vypracoval samostatne s použitím citovaných zdro-
jov.

.....

Ďakujem svojmu školiteľovi doc. RNDr. Rastislav Kráľovič, PhD za cenné rady a postrehy, ktorými mi pomohol pri písaní tejto práce.

Abstrakt

V tejto práci sa venujem heuristikám, ktoré minimalizujú lineárne priesečníkové číslo a lineárne priesečníkové číslo s fixovanou permutáciou vrcholov. V prvej časti popisujem princíp a popis algoritmov a v ďalšej časti porovnávam jednotlivé heuristiky podľa výsledkov, ktoré dosiahli na niekoľkých triedach grafov. V práci sú použité algoritmy rôznych druhov od jednoduchých greedy algoritmov, cez neurónové siete a semidefinitné programovanie až po genetický algoritmus a simulované žihanie.

Kľúčové slová lineárne priesečníkové číslo, fixované lineárne priesečníkové číslo, heuristiky, aproximácie

Obsah

1	Úvod	8
1.1	Definície	8
1.1.1	Lineárne priesečníkové číslo	9
1.1.2	Počet priesečníkov	10
1.1.3	Teoretický horný odhad	10
2	Aproximačné algoritmy	12
2.1	Úvod	12
2.2	Testované typy algoritmov	12
2.3	Algoritmy pre fixované lineárne priesečníkové číslo	12
2.3.1	Greedy metódy	12
2.3.2	Neurónové siete	15
2.3.3	Aproximácia pomocou MaxCut	21
2.4	Lineárne priesečníkové číslo	22
2.4.1	Genetický algoritmus	23
2.4.2	Simulované žihanie	24
2.5	Konvexné priesečníkové číslo	25
2.5.1	Baur a Brandes	25
2.5.2	Adjacent Vertex with Smallest Degree First	27
3	Experimenty a merania	29
3.1	Úvod	29
3.2	Lineárne priesečníkové číslo s fixovaným poradím vrcholov	29
3.3	Lineárne priesečníkové číslo	33
3.4	Zhrnutie	35
4	Záver	37

Kapitola 1

Úvod

Cieľom tejto bakalárskej práce je porovnať rôzne aproximačné algoritmy na určenie priesečníkového čísla grafov. Minimalizácia priesečníkového čísla nakreslenia grafu je jeden z najstarších problémov automatizovaného kreslenia grafov a návrhu VLSI. Počet priesečníkov má veľký vplyv na estetický vzhľad grafu a tak isto čitateľnosť.

Problém priesečníkového čísla bol prvý krát uvedený Pálom Turánom, ktorý si kládol otázku: “Aké je priesečníkové číslo $cr(K_{n,m})$ úplného bipartitného grafu?” Garey a Johnson ukázali[18], že všeobecný rozhodovací problém: “Pre daný graf G a prirodzené číslo k rozhodnúť či $cr(G) \leq k$ ” je NP-úplný problém.

Kvôli komplexnosti všeobecného problému sa študovali rôzne varianty ako napríklad konvexné priesečníkové číslo, lineárne priesečníkové číslo, bok crossing number ale aj pre tieto zostáva problém stále NP-ťažký. Pravdepodobnosť, že sa nájde polynomiálny algoritmus je veľmi malá, ale prax vyžaduje riešenia týchto problémov. Preto sa rozvíjajú rôzne heuristiky a aproximácie, ktoré dodávajú aspoň dobré odhady a riešenia.

1.1 Definície

Nech graf $G = (V(G), E(G))$, kde $V(G)$ je konečná množina vrcholov grafu a $E(G)$ je množina hrán grafu, pričom $E(G) \subseteq [V(G)]^2$. Pre ľubovoľnú množinu A je množina $[A]^2$ množinou 2-prvkových podmnožín množiny A . G je neorientovaný graf bez násobných hrán a slučiek. Počet vrcholov označme $n = |V(G)|$ a počet hrán $m = |E(G)|$. Pre daný graf G , priesečníkové číslo grafu, ktoré sa značí aj $cr(G)$, je najmenší počet priesečníkov hrán s ktorými môže byť nakreslený do roviny.

Planárne grafy majú priesečníkové číslo rovné nule. $cr(G)$ môžeme považovať za mieru neplanárnosti grafu. Existujú rôzne varianty priesečníkového čísla, ktoré kladú na nakreslenie grafu rôzne podmienky. Niektoré z nich sú tieto:

- Rektilineárne priesečníkové číslo $\overline{cr}(G)$. Hrany sú časti priamky, teda úsečky a vrcholy sú vo všeobecnej pozícii.
- Konvexné priesečníkové číslo $v_1(G)$. Vrcholy sú umiestnené na kružnici a hrany sú úsečky. Tiež sa nazýva aj outerplanar crossing number alebo circular crossing number a tiež 1-page book crossing number.
- k-page Book Crossing Number $v_k(G)$. Vrcholy sú umiestnené na spoločnej priesečnici k rovín. Pričom hrany sú polkružnice, ktoré celé ležia¹ práve v jednej z polrovín. Priamka na ktorej ležia vrcholy sa nazýva chrbtica (chrbát knihy) a polroviny sú stránky tejto knihy. Takže hrana je nakreslená na jednej zo stránok. Špeciálny prípad je už spomínané konvexné priesečníkové číslo. Pre nakreslenie grafu D na k-stránkovú knihu, $v_k(D)$ označuje počet priesečníkov hrán v nakreslení D . Potom k-page book crossing number grafu G označme $v_k(G)$ a označuje minimálne priesečníkové číslo medzi všetkými k-stránkovými nakresleniami G .
- Linear layout crossing number $v_2(G)$. Je inštancia 2-page Book crossing number.
- Fixed linear layout crossing number $v_L(G)$ Je linear layout crossing number ale poradie vrcholov na priamke je pevne dané. Problém minimalizácie fixovaného lineárneho priesečníkového čísla sa niekedy označuje skratkou FLCNP.

V tejto práci sa skúmajú algoritmy na určenie $v_1(G)$, $v_2(G)$ a $v_L(G)$. Prehľad ostatných typov priesečníkových čísel sa dá nájsť v [16].

1.1.1 Lineárne priesečníkové číslo

Nakreslenie grafu do roviny nazývame lineárne, ak spĺňa nasledujúce podmienky:

- vrcholy ležia na horizontálnej priamke p
- hrany sú nakreslené ako polkružnice alebo polelipsy

V prípade fixovaného priesečníkového čísla pridávame podmienky:

- poradie vrcholov na priamke p je pevne dané.

V tejto práci spĺňa lineárne nakreslenie aj ďalšie predpoklady:

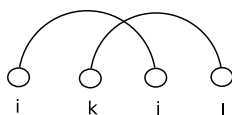
- hrana nepretína samú seba
- hrany, ktoré majú spoločný vrchol sa nepretínajú

¹Samozrejme okrem vrcholov, ktoré hrana spája, pretože tie ležia na priesečnici.

- (iii) spoločný bod dvoch hrán, okrem koncových, je priesečník a nie bod dotyku
- (iv) žiadne tri hrany nemajú spoločný priesečník
- (v) ľubovoľná dvojica hrán sa pretína najviac raz

1.1.2 Počet priesečníkov

Očíslujme vrcholy grafu G v poradí v akom ležia na priamke zľava doprava.² Vrchol $v \in V$ budeme značiť v_i , kde i je poradové číslo vrcholu. Hranu $e = v_i v_j$ budeme značiť ako $e_{i,j}$ pričom $i < j$. Potom hrany $e_{i,j}$ a $e_{k,l}$ sa pretínajú práve vtedy, keď $(i < k < j \wedge l > j) \vee (k < i \wedge i < l < j)$.



Obrázok 1.1: Znázornenie polohy vrcholov pri priesečníku dvoch hrán

Zavedme funkciu $cross(e_{i,j}, e_{k,l}) = 1$ ak $e_{i,j}$ a $e_{k,l}$ pretínajú inak 0. Celkový počet priesečníkov bude:

$$v_1(G) = \frac{1}{2} \sum_{e_{i,j} \in E} \sum_{e_{k,l} \in E} cross(e_{i,j}, e_{k,l}) \quad (1.1)$$

Pre $v_2(G)$ musíme ešte rozoznávať v ktorej polrovine hrany ležia. Nech $u_{i,j} \in \{0, 1\}$ a $u_{i,j} = 0$ ak hrana $e_{i,j}$ leží v prvej polrovine. Analogicky 1 ak leží v druhej.

$$v_2(G) = \frac{1}{2} \sum_{e_{i,j} \in E} \sum_{e_{k,l} \in E} cross(e_{i,j}, e_{k,l}) * ((u_{i,j} u_{k,l} + (1 - u_{i,j})(1 - u_{k,l}))) \quad (1.2)$$

1.1.3 Teoretický horný odhad

Takmer na každú otázku, ktorú sa môžeme opýtať ohľadom priesečníkového čísla, nepoznáme odpoveď. Pre účely tejto práce sa v literatúre dajú nájsť niektoré horné odhady pre špeciálne triedy grafov. V niektorých prípadoch aj predpokladaný vzťah pre rovnosť.

$$v_2(K_n) \leq \frac{1}{4} \left\lfloor \frac{n}{2} \right\rfloor \left\lfloor \frac{n-1}{2} \right\rfloor \left\lfloor \frac{n-2}{2} \right\rfloor \left\lfloor \frac{n-3}{2} \right\rfloor \quad (1.3)$$

²Pri $v_2(G)$ sa priamka na ktorej ležia vrcholy najčastejšie znázorňuje vodorovne.

Kde pre $n \leq 10$ bola dokázaná rovnosť. Podrobnosti sa dajú nájsť v [8].
Pre pravidelný torus sa v [9] predpokladá vzťah:

$$v_2(T_{n,n}) = n(n - 2) \quad (1.4)$$

Kapitola 2

Aproximačné algoritmy

2.1 Úvod

Aproximačné algoritmy sú momentálne jediná možnosť ako znížiť počet priesečníkov v nakreslení grafu. Z praktického hľadiska pomáhajú zlepšovať návrhy VLSI, či estetickosť automaticky nakresleného grafu a iné. Z teoretického hľadiska pomáhajú pri zlepšovaní horných odhadov.

2.2 Testované typy algoritmov

Na získanie dobrého riešenia ťažkého problému sa používajú rôzne techniky a postupy. V literatúre sa dajú nájsť greedy postupy, algoritmy založené na dynamickom programovaní, bisekcií [3] [1] [10] [19] [21] [23], neurónové siete [12] [17] [11], genetické algoritmy [13], simulované žihanie [20],.

V tejto práci sú popísané niektoré publikované heuristiky, ktoré boli aj implementované a porovnávané. Z typov algoritmov sú zastúpené greedy, neurónové siete, genetické algoritmy a simulované žihanie.

2.3 Algoritmy pre fixované lineárne priesečníkové číslo

Keďže vrcholy sú v tomto type nakreslenie zafixované, zostáva rozmiestniť hrany do polrovín. Veľkosť prehľadávaného priestoru je rádovo $\mathcal{O}(2^m)$.

2.3.1 Greedy metódy

Základné heuristické metódy boli čerpané od Cimikowského [3]. Vo svojej práci uvádza až 8 možných metód. V tejto práci sú rozobrané tieto:

Znáhodnený greedy

Začína sa s grafom bez hrán a postupne sa do neho pridávajú hrany, ktoré sa pridávajú do jednej z polrovín. Pričom poradie pridávania hrán je náhodne. Zistiť, koľko priesečníkov má hrana v prvej alebo druhej polrovine trvá $\mathcal{O}(m)$. Celkový čas behu $\mathcal{O}(m^2)$

Algorithm 1 Znáhodnený greedy

náhodne preusporiadaj poradie hrán
for $i = 0$ to $m - 1$ **do**
 pridaj hranu e_i do tej polroviny, v ktorej spôsobí najmenší prírastok priesečníkov
end for

Maximálny planárny podgraf

Maximálny planárny podgraf, ďalej len MPlanar, sa snaží vytvoriť planárne grafy v oboch polrovinách. V prvej fáze pridáva hrany do prvej polroviny, ktoré nespôsobia kríženie, tie, ktoré by mohli spôsobiť, sa odložia. V druhej fáze sa odložené hrany umiestňujú takým istým spôsobom do druhej polroviny. Ak potom zostanú nejaké hrany umiestnia sa do tej polroviny, kde spôsobia menej priesečníkov. Celkový čas behu $\mathcal{O}(m^2)$

Edge length heuristic

Táto heuristika zoradí hrany v nerastúcom poradí podľa dĺžky a postupne ich pridáva do tej polroviny v ktorej spôsobia menší prírastok priesečníkov. Intuícia za týmto prístupom je taká, že dlhšia hrana má väčšiu pravdepodobnosť priesečníka a preto ju treba umiestniť skôr. Celkový čas behu $\mathcal{O}(m^2)$. Ďalej bude mať označenie E-len.

One page

One page heuristika umiestni všetky hrany do prvej polroviny. Potom nasleduje fáza vylepšovania, v ktorej sa hrana presunie do druhej polroviny, ak to zníži priesečníkové číslo. Hrany na vylepšenie sa berú v nerastúcom poradí lokálnych priesečníkov. Celkový čas behu $\mathcal{O}(m^2)$. Počas prvých testov sa ukázalo, že niekoľkokrát zopakovať zlepšovaciu fázu prináša lepšie výsledky aj keď hrany zostanú v nezmenenom poradí.

Dĺžka hrany 2

Táto heuristika vychádza z toho že hrany dĺžky $n/2+1$ môžu spôsobiť najviac priesečníkov. Zoradí preto hrany v nerastúcom poradí podľa hodnoty výrazu

Algorithm 2 MPlanar

```

1:  $E_1 = \emptyset, E_2 = \emptyset, E_{pom} = \emptyset$ 
2: while neprázdna  $E$  do
3:   odober hranu  $z \in E$ 
4:   if ma hrana  $e$  priesečník s nejakou hranou z  $E_1$  then
5:     pridaj  $e$  do  $E_{pom}$ 
6:   else
7:     pridaj  $e$  do  $E_1$ 
8:   end if
9: end while
10:  $E = E_{pom}, E_{pom} = \emptyset$ 
11: while neprázdna  $E$  do
12:   odober hranu  $z \in E$ 
13:   if ma hrana  $e$  priesečník s nejakou hranou z  $E_2$  then
14:     pridaj  $e$  do  $E_{pom}$ 
15:   else
16:     pridaj  $e$  do  $E_2$ 
17:   end if
18: end while
19: while neprázdna  $E_{pom}$  do
20:   odober hranu  $z \in E_{pom}$ 
21:   pridaj hranu do  $E_1$  alebo  $E_2$  podľa toho, kde spôsobí menej prieseč-
     níkov.
22: end while

```

Algorithm 3 Edge length heuristic

```

1: zostupne usporiadaj hrany podľa dĺžky
2: for  $i = 0$  to  $m - 1$  do
3:   pridaj hranu  $e_i$  do tej polroviny, v ktorej spôsobí najmenší prírastok
     priesečnickov
4: end for

```

Algorithm 4 One Page heuristic

```

1: umiestni všetky hrany do prvej polroviny
2: zostupne zorad hrany podľa počtu priesečnickov, ktoré spôsobujú
3: for  $j = 0$  to 10 do
4:   for  $i = 0$  to  $m - 1$  do
5:     umiestni hranu  $e_i$  do opačnej polroviny ak to zníži počet prieseč-
       níkov
6:   end for
7: end for

```

$|n/2 + 1 - len|$ kde len je dĺžka hrany. Časová zložitosť je $\mathcal{O}(m^2)$ a označenie E-Len2.

Algorithm 5 Edge length 2 heuristika

```

1: zostupne usporiadaj hrany podľa hodnoty výrazu  $|n/2 + 1 - len|$ 
2: for  $i = 0$  to  $m - 1$  do
3:   pridaj hranu  $e_i$  do tej polroviny, v ktorej spôsobí najmenší prírastok
   priesečníkov
4: end for

```

Slope stratégia

Nakreslíme vrcholy na kružnicu a spojíme hranami - úsečkami. Ak hrana zvierá s horizontálnou osou väčší uhol ako 90 tak ho umiestnim do druhej polroviny. Časová zložitosť je $\mathcal{O}(m)$.

Algorithm 6 Slope strategy heuristika

```

1: for  $i = 0$  to  $m - 1$  do
2:   if  $(x + y < \frac{1}{2}n) \vee (n < x + y < \frac{3}{2}n)$  then
3:     umiestni hranu  $e_{x,y}^i$  do druhej polroviny
4:   else
5:     umiestni hranu  $e_{x,y}^i$  do prvej polroviny
6:   end if
7: end for

```

2.3.2 Neurónové siete

Nasledujúce algoritmy využívajú Hopfieldovu neurónovú sieť. V tejto časti nebude v označovať vrchol ale neurón. Hopfieldova sieť je úplne spojená rekurentná jedno vrstvomá sieť. Každý neurón je spojený so všetkými ostatnými pomocou synapsií a všetky neuróny sú vstupné aj výstupné. Každá synapsia má svoju váhu $w_{ij} \in \mathbb{R}$, pričom tieto váhy sú symetrické $w_{ij} = w_{ji}$, kde ij je synapsia medzi neurónmi v_i a v_j . V obidvoch uvedených algoritmoch hrany z grafu G zodpovedajú neurónom. Model obsahuje m neurónov v_0, v_1, \dots, v_{m-1} . Hrane e_{xy}^i zodpovedá neurón v_i .

HeSykoraNeural

He, Sýkora používajú vo svojej práci[12] model synchronnej Hopfieldovej siete s binárnymi neurónmi. Vnútorňá hodnota neurónu $v_i \in \{0, 1\}$. Ak $v_i = 1$ (respektívne $v_p = 0$) tak hrana e_p je nad priamkov(respektíve pod priamkov). Pre aktivované neuróny ($v_i = 1$) sa dá priesečníkové číslo

vypočítať takto:

$$v_L^{up}(G) = \sum_{i=0}^{m-1} \sum_{j=i+1}^{m-1} cross(e_{xy}^i, e_{zw}^j) * v_i v_j$$

Podobne aj pre neaktívne neuróny (hrany pod priamkov) sa dá priesečníkové číslo vypočítať takto:

$$v_L^{down}(G) = \sum_{i=0}^{m-1} \sum_{j=i+1}^{m-1} cross(e_{xy}^i, e_{zw}^j) * \bar{v}_i \bar{v}_j$$

kde $\bar{v}_i = 1 - v_i$. Z toho vyplýva energetická funkcia siete:

$$E = A \sum_{i=0}^{m-1} \sum_{j=0}^{m-1} cross(e_{xy}^i, e_{zw}^j) * (v_i v_j + \bar{v}_i \bar{v}_j)$$

Hirsch[14] popísal neurónovú sieť ako nelineárny dynamický systém a nazval ho neurodynamika. Predpokladajme dynamický systém s m stavovými premennými v_0, v_1, \dots, v_{m-1} , potom môžeme písať motion equation ako $\frac{du_i}{dt} = -\frac{\partial E}{\partial v_i}$, kde u_i a v_i sú vstup a výstup i -teho neurónu. Z toho dostávame:

$$\frac{du_i}{dt} = -A \sum_{j=0, j \neq i}^{m-1} cross(e_{xy}^i, e_{zw}^j) (2v_j - 1)$$

Týmto vzťahom je popísaná celá dynamika systému. Avšak Takefuji [22] dokázal, že stav binárneho modelu konverguje do lokálneho minima. Aby sa zabránilo uviaznutiu v tomto minime, aplikuje sa učiaci algoritmus, ktorý v tomto prípade reprezentuje hill-climbing prístup. Jedno kolo výpočtu je, keď sa prepočítajú hodnoty všetkých neurónov. Výpočet nových hodnôt neurónov sa robí sekvečne. Počet kôl je obmedzený pomocou parametra *max_iterations*. Sieť často krát dosiahne ustálený stav aj skôr. Túto heuristiku budem označovať v testoch HeNeural.

parameter	hodnota
<i>max_iterations</i>	100
<i>A</i>	2,0

Tabuľka 2.1: Parametre použité pri testovaní algoritmu HeNeural

Algorithm 7 He Sýkora neural algorithmus

```

1:  $k = 0, v_L = MAX\_INT$ 
2: while  $k < max\_iterations$  do
3:    $t = 0$ 
4:   náhodne inicializuj stavy neurónov  $v_0, v_1, \dots, v_{m-1}$ 
5:   vypočítaj hodnotu E
6:   repeat
7:     for  $i = 0$  to  $m - 1$  do
8:       vypočítaj  $\Delta u_i$  pre  $\Delta t = 1$  pomocou motion equation
9:       vypočítaj  $u_i(t + 1)$  pomocou  $\Delta u_i$ 
10:      if  $u_i > 0$  then
11:         $v_i = 1$ 
12:      else
13:         $v_i = 0$ 
14:      end if
15:    end for
16:    vyrátať energiu E
17:     $t = t + 1$ 
18:  until  $\Delta E = 0$ 
19:   $cur\_v_L = calculate\_crossings(G, v_0, v_1, \dots, v_{m-1})$ 
20:  if  $cur\_v_L < v_L$  then
21:     $v_L = cur\_v_L$ 
22:  end if
23:   $k = k + 1$ 
24: end while

```

Gradient Ascent Learning

Rong-long Wang a Zheng Tang publikovali článok [17], v ktorom využívajú hopfieldovu neurónovú sieť. Narozdiel oproti predchádzajúcemu modelu využívajú štandardnú formu motion funkcie a majú inú techniku učenia. Každéj hrane je priradený jeden neurón, ktorého stav indikuje umiestnenie hrany. Ak má neurón hodnotu 1 tak je hrana umiestnená v prvej polrovine a ak má 0 tak je v druhej polrovine. Prieščíkové číslo môže byť spočítané

takto:

$$cr_L(G) = \frac{1}{2} \sum_{i=0}^{m-1} \sum_{j=0}^{m-1} cross(e_{xy}^i, e_{zw}^j) * (v_i v_j + (1 - v_i)(1 - v_j))$$

Energetickú funkciu pre FLCNP môžeme zapísať takto:

$$e = \frac{A}{2} \sum_{i=0}^{m-1} \sum_{j=0}^{m-1} cross(e_{xy}^i, e_{zw}^j) * (v_i v_j + (1 - v_i)(1 - v_j))$$

Štandardná energetická funkcia hopfieldovej siete má tvar

$$E = -\frac{1}{2} \sum_{i=0}^{m-1} \sum_{j=0}^{m-1} w_{ij} v_i v_j - \sum_{i=0}^{m-1} h_i v_i$$

kde w_{ij} je váha synapsie medzi neurónmi v_i a v_j . V hopfieldovej sieti platí $w_{ii} = 0$ a $w_{ij} = w_{ji}$. h_i sa nazýva aj externý vstup neurónu alebo aj prah. Aby sme vyriešili problém minimalizácie počtu priesečníkov dajme do rovnosti predchádzajúce dva vzťahy. Z nich dostaneme hodnoty w_{ij} a h_i

$$w_{ij} = \begin{cases} -2A * cross(e_{xy}^i, e_{zw}^j) & \text{pre } i \neq j \\ 0 & i = j \end{cases}$$

$$h_i = \sum_{j=0}^{m-1} cross(e_{xy}^i, e_{zw}^j)$$

Motion rovnica je ako v predchádzajúcom prípade odvodená zo vzťahu $\frac{du_i}{dt} = -\frac{\partial E}{\partial v_i}$.

$$\frac{du_i}{dt} = \sum_{j=0}^{m-1} w_j v_j + h_i$$

Sigmoidná funkcia je použitá ako vstupno výstupná funkcia.

$$v_i = \frac{1}{1 + e^{(-u_i/T)}}$$

kde T je parameter, ktorý sa nazýva teplota. Hopfield [15] ukázal, že takáto sieť sa dá použiť ako aproximačná metóda na riešenie 0-1 optimalizačných problémov. Pretože váhy sú symetrické tak sieť konverguje k minimu energetickej funkcie. Navyše ak $w_{ii} = 0$ tak hodnoty neurónov v lokálnom minime budú blízko vektoru $\{0, 1\}^m$.

Pri výpočte neurónovej siete sa energetická funkcia približuje k lokálnemu alebo globálnemu minimu. Keď ho dosiahne tak hodnoty neurónov sa ďalším výpočtom už nezmenia. Keďže neurónový model priamo korešponduje s FLCNP, tak takto získané riešenie je prípustné. T.j neurónová sieť

neskončí v stave, ktorý by nevyjadroval nejaké rozloženie hrán. Avšak ak sieť dospeje do lokálneho minima, tak získané priesečníkové číslo nemusí byť dostatočne malé. Preto má algoritmus aj učiacu fázu, ktorá mu má pomôcť uniknúť z lokálneho minima.

Učiaci algoritmus sa aplikuje na váhy w_{ij} a prahy h_i , pretože tie určujú vlastnosti energetickej funkcie.

$$\Delta w_{ij} = -pv_i v_j$$

$$\Delta h_i = -qv_i$$

kde, p a q sú malé kladné konštanty. Minimalizácia priesečníkového čísla bohužiaľ nie je typ problému, pri ktorom vieme, že sme dosiahli optimálne riešenie¹, preto musíme počet opakovaní výpočtovej a učiacej fázy dopredu obmedziť. Pri mojich experimentoch som ho nastavili na 10, tak ako pôvodní autori. Heuristiku budem označovať ako GANeural.

Algorithm 8 Gradient Ascent Learning

Require: pole *neurons* obsahuje hodnoty neurónov, pole *start_w*[*i*][*j*] obsahuje váhy medzi neurónmi v_i, v_j , *start_h*[*i*] je pole prahov

- 1: $w = start_w$, $h = start_h$
 - 2: náhodne inicializuj stavy neurónov hodnotami z intervalu (0, 1)
 - 3: update_neurons()
 - 4: $min_cross = calc_current_crossings(neurons, G)$
 - 5: **for** $learn_times = 0$ to $learn_limit$ **do**
 - 6: $w = start_w$, $h = start_h$
 - 7: learn_net()
 - 8: update_net(w, h)
 - 9: update_net($start_w, start_h$)
 - 10: $cur_cross = calc_current_crossings(neurons, G)$
 - 11: **if** $cur_cross < min_cross$ **then**
 - 12: $min_cross = cur_cross$
 - 13: **end if**
 - 14: **end for**
-

Sieť najprv počíta s nezmenenými váhami, keď dosiahne ustálený stav, aplikuje sa učiaci algoritmus. Vykoná sa nový výpočet s novými váhami a po ňom ešte raz s pôvodnými váhami, aby sa zabránilo posunu globálneho minima.

¹Samozrejme ak dospejeme nulovému priesečníkovému číslu môžeme skončiť

parameter	hodnota
<i>learn_limit</i>	10
<i>A</i>	1,0
<i>T</i>	1,0
<i>p</i>	0,5
<i>q</i>	0,8

Tabuľka 2.2: Parametre použité pri testovaní algoritmu GANeural

Algorithm 9 Gradient Ascent Learning - update_net**Ensure:** update_net(w,h) - prepočíta vnútorné hodnoty neurónov

```

1: change = true
2: while change = true do
3:   change = false
4:   for i = 0 to m - 1 do
5:     sum = 0
6:     for j = 0 to m - 1 do
7:       sum += w[i][j] * neurons[j]
8:     end for
9:     sum += h[i] + neurons[i]
10:     $y = \frac{1}{1 + e^{(-sum/T)}}$ 
11:    if y <> sum then
12:      change = true
13:    end if
14:    neurons[i] = y
15:  end for
16: end while

```

Procedúra update_net(w,h) - vykonáva vlastný výpočet na neurónovej sieti, až kým sa sieť neustáli. To, že sieť konverguje nám zaručí Hopfieldova veta. Pôvodný algoritmus bol navrhnutý ako paralelný, tento variant však ráta nové hodnoty neurónov postupne. Časová zložitosť je $\mathcal{O}(m^2)$.

Algorithm 10 Gradient Ascent Learning - learn_net**Ensure:** learn_net() - upraví pole *w* a *h*

```

1: for i = 0 to m - 1 do
2:   for j = 0 to m - 1 do
3:      $w[i][j] = start\_w[i][j] - p * neurons[i] * neurons[j]$ 
4:   end for
5:    $h[i] = start\_h[i] - q * neurons[i]$ 
6: end for

```

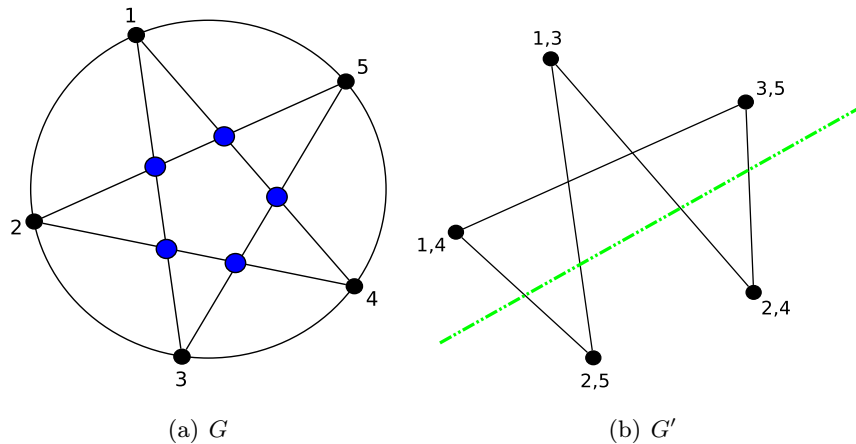
Časová zložitosť metódy learn_net je $\mathcal{O}(m^2)$.

2.3.3 Aproximácia pomocou MaxCut

Cimikowského redukcia na problém maximálneho rezu

Robert Cimikowski a Brendan Munej publikovali algoritmus [4], ktorý je založený na redukcii problému na problém maximálneho 2-rezu. Pre daný graf $G = (V, E)$, nájsť maximálny k -rez grafu znamená nájsť k - disjunktých podmnožín S_1, S_2, \dots, S_k množiny vrcholov grafu G tak, že počet hrán, ktoré majú koncové vrcholy v rôznych množinách je maximálny. Problém je analogický s problémom nájsť maximálny k -partitný podgraf.

Problém minimalizácie fixovaného priesečníkového čísla môže byť transformovaný na maximálny 2-rez grafu takto: Nech $G = (V, E)$ je graf pre ktorý chceme riešiť FLCNP. Umiestnime všetky hrany do 1. polroviny. Potom množinu C_G tvoria dvojice hrán, ktoré sa pretínajú. Presnejšie $(e_i, e_j) \in C_G \Leftrightarrow \text{cross}(e_i, e_j) = 1$. Nech graf $G' = (V', E')$. Potom každej hrane $e_i \in E$ priradíme vrchol $v_i \in V'$ a pre každú dvojicu hrán $(e_i, e_j) \in C_G$ priradíme hranu v G' $v_i v_j \in E'$. 2-rez v G' rozdelí vrcholy do množín S_1, S_2 . Pričom vrcholy z S_i zodpovedajú hranám v G , ktoré sa majú zobrazit' v i -tej polrovine. Všimnime si, že priesečník dvojice hrán grafu G vzniká iba v tom prípade, keď hrana z G' nepatrí do rezu, t.j obidva koncové vrcholy patria do rovnakej množiny.



Obrázok 2.1: Príklad transformácie FLCNP na maximálny rez. (a) zobrazuje graf K_5 , modré body vyznačujú priesečníky. (b) Zobrazuje G' a zelená čiara vyznačuje maximálny rez. Mimo rezu zostala iba jedna hrana a teda graf K_5 sa dá nakresliť iba s jedným priesečníkom($v_L(K_5) = 1$)

Problém maximálneho rezu patrí medzi 21 Karpových NP-úplných problémov. Goemans a Williamson[7] vyvinuli aproximáciu pre maximálny rez. Základná myšlienka je takáto: Pre každý vrchol $v_i \in V'$ definujeme hodnotu x_i , ktorá sa rovná 1 ak v_i patrí do S_1 a -1 ak do S_2 . Hľadaniu maximálneho

rezu potom zodpovedá celočíselný kvadratický program

$$\begin{aligned} \text{Max} \quad & \frac{1}{2} \sum_{(v_i, v_j) \in E'} (1 - x_i x_j) \\ & x_i \in \{-1, 1\} \quad \forall v_i \in V' \end{aligned}$$

To je základný problém, ktorý relaxujeme na semidefinitné programovanie. Respektíve relaxujeme celočíselnú premennú x_i na viacrozmerný vektor u_i jednotkovej normy. Vektor u_i patrí m -rozmernej jednotkovej guli S_m .

$$\begin{aligned} \text{Max} \quad & \frac{1}{2} \sum_{(v_i, v_j) \in E'} (1 - u_i \cdot u_j) \\ & u_i \in S_m \quad \forall v_i \in V' \end{aligned}$$

$u_i \cdot u_j$ značí skalárny súčin. Popis algoritmu:

Algorithm 11 Cimikowského heuristika $v_L(G)$ pomocou aproximácie maximálneho rezu

- 1: Preveď vstupný graf G na G'
 - 2: Vyrieš SDP a získaj optimálne vektory u_i
 - 3: **for** $i = 1$ to 50 **do**
 - 4: nech r je náhodný vektor z S_m
 - 5: nech $S_1 = \{i | u_i \cdot r \geq 0\}$ a $S_2 = S - S_1$
 - 6: vyrátaj počet priesečníkov keď rozdelím hrany S_1 a S_2
 - 7: **end for**
 - 8: vráť najlepšie riešenie
-

Pri implementácii bola použitá knižnica `csdp` na riešenie úlohy semidefinitného programovania. Knižnica sa dá nájsť v [5]. Časová zložitosť je závislá na počte hrán vstupného grafu. Výpočtovo najnáročnejšia časť je v riešení úlohy semidefinitného programovania. Podľa [2] vo všeobecnosti počet iterácií nepresiahne 30, čo sa potvrdilo aj pri mojich testoch. Pri transformovaní problému sa počíta matica rozmeru $m \times m$ a počet podmienok je tiež m , kde m je počet hrán grafu G , respektíve počet vrcholov G' . Matice podmienok majú len jeden 1 nenulový prvok. Potom časová zložitosť je $\mathcal{O}(m^3)$

2.4 Lineárne priesečníkové číslo

Výpočet lineárneho priesečníkového čísla sa skladá z dvoch podproblémov - nájsť permutáciu vrcholov a rozmiestnenie hrán do polrovín, pričom v oboch prípadoch treba minimalizovať počet priesečníkov. Nanešťastie obidva podproblémy sa ukázali byť NP-ťažké. Prvý spomínaný minimalizuje

konvexné priesečníkové číslo. A druhý minimalizuje lineárne priesečníkové číslo s fixovaným poradím vrcholov. Jednou z možných metód je skombinovať heuristiky pre obidva typy priesečníkových čísel. Druhou možnosťou je skúmať obidva podproblémy ako celok. V tejto kapitole sú popísané algoritmy, ktoré sú príkladom druhej možnosti.

2.4.1 Genetický algoritmus

Genetické algoritmy sa ukázali byť ako dobré aproximačné prostriedky pri výpočtovo nezvládnuteľných problémoch. Algoritmus [13] funguje nasledovne.

Jeden člen populácie - chromozóm reprezentuje jedno nakreslenie grafu G . Skladá sa z permutácie π a m -bitového reťazca $u \in \{0, 1\}^m$. Každý chromozóm ma svoju fitness hodnotu, ktorá sa dá vypočítať ako $\frac{1}{1+v_2^2}$. Čím je väčšia fitness hodnota tým je menšie priesečníkové číslo. Z populácie sa vygeneruje nová populácia pomocou operátorov selekcie, mutácie a crossover.

Selekcia - selekčný operátor vyberá chromozómy na následný crossover a mutáciu. Každé nakreslenie má určitú pravdepodobnosť, že bude vybrané. Pravdepodobnosť nakreslenia $prop(D_i)$ sa vypočíta takto:

$$prop(D_i) = \frac{\frac{1}{1+v_2^2(D_i)}}{\sum_{j=0}^{popSize-1} \frac{1}{1+v_2^2(D_j)}} * 100$$

Algorithm 12 Genetický algoritmus - Operátor Selekcie

Require: pop - je populácia, $pop[i]$ - i -tý člen populácie

Ensure: vracia index chromozómu, ktorý bol vybraný

```

1:  $r = random() \bmod 100$ 
2:  $lastprob = pop[0].prop$ 
3:  $i = 0$ 
4: while  $lastprob < r$  do
5:    $i++$ 
6:    $lastprob+ = pop[i].prop$ 
7: end while
8: return  $i$ ;
```

Procedúra crossover má na vstupe dva chromozómy a ako výstup vracia takisto dva chromozómy. Rekombinácia sa aplikuje na obidve časti chromozómu. V prípade rozmiestnenia hrán sa vyberie náhodne dlhý úsek bitového reťazca a tie sa vymenia. V prípade permutácií sa to urobí obdobne ale po výmene úsekov sa zvyšné prvky permutácie dopočítajú podľa toho ktoré ešte nie sú použité a v akom poradí boli v pôvodnej permutácií. Po rekombinácii sa s určitou pravdepodobnosťou aplikuje mutácia. Pravdepodobnosť mutácia bola nastavená na 40%.

parameter	hodnota
<i>popSize</i>	16
pravd. mutácie	40%
počet generácií	$\min(3n + 3m + 100, 1000)$

Tabuľka 2.3: Parametre použité pri testovaní genetického algoritmu

Na začiatku sa vygeneruje náhodná permutácia veľkosti *popSize*. Každá ďalšia generácia sa generuje tak, že pomocou selekcie sa vyberú dva chromozómy na crossover, z čoho vznikne nová dvojica na ktorú sa aplikuje mutácia. Následne sú pridané do novej generácie. Toto sa opakuje až kým nová populácia nedosiahne veľkosť *popSize*. Na konci sa najhorší jedinec, s najmenšou fitness hodnotou, vymení za najlepšieho jedinca predchádzajúcej generácie.

Dôležitým faktorom genetického algoritmu sú jeho terminačné kritériá. V tomto prípade sa *duration*, počet generácií, stanoví ako $\min(3n + 3m + 100, 1000)$ alebo priesečníkové číslo nejakého nakreslenia v populácií je 0.

Algorithm 13 Genetický algoritmus

```

1: vytvor náhodnú populáciu
2: for  $i = 1$  to duration do
3:   vyrátaj fitness pre každého člena populácie
4:   while  $size < popSize$  do
5:      $c1 = selector()$ 
6:      $c2 = selector()$ 
7:      $crossover(c1, c2)$ 
8:     aplikuj mutácie na nové chromozómy
9:     pridať  $c1, c2$  do novej populácie
10:     $size ++$ 
11:   end while
12:   vymeň najhoršieho z novej za najlepšieho zo starej populácie
13: end for

```

2.4.2 Simulované žihanie

Ďalším z algoritmov založených na stochastickom prístupe je simulované žihanie[20]. Je založený na fyzikálnom princípe žihania tuhého telesa, kde sa postupným ochladzovaním odstraňujú jeho vnútorné defekty. Základná idea algoritmu je začať z počiatočného štádia a postupne ho vylepšovať. Vylepšovanie prebieha náhodne - náhodne sa vyberie hrana, ktorá sa presunie do opačnej polroviny alebo sa vyberú dva vrcholy, ktoré si vymenia pozície v permutácii. Ak je nové riešenie lepšie tak sa prijme. Ak nie je lepšie, tak sa prijme iba z určitou pravdepodobnosťou, ktorá závisí od teploty. Na začiat-

parameter	hodnota
t_0	1
t_1	0,2
α	0,99

Tabuľka 2.4: Parametre použité pri testovaní simulovaného žihania

ku majme riešenie $s_0 = (\pi, u)$, ktoré sme získali nejakou inou heuristikou. Autori použili Baur a Brandes heuristiku pre konvexné priesečníkové číslo a Cimikowského edge length heuristiku na rozmiestnenie hrán. Pri testovaní bola použitá heuristika AVSDF+GANeural.

2.5 Konvexné priesečníkové číslo

Konvexné priesečníkové číslo je veľmi úzko späté s 1-page priesečníkovým číslom. Obe sú určené permutáciou vrcholov a obe majú pri rovnakej permutácii rovnaké hodnoty. Často sa v literatúre chápu ako synonymá.

Existujú dve základné prístupy ako minimalizovať počet priesečníkov [10]:

- minimalizovať dĺžky hrán v grafe. Problém sa ukázal byť NP-ťažký[19]. V prípadne konvexného priesečníkového čísla minimalizujeme tento výraz:

$$\sum_{e_{xy} \in E} \min(|x - y|, n - |x - y|)$$

- maximalizovať počet hrán ležiacich na kružnici.

Algoritmus navrhnutý Mäkinenom[19] je ukázkou prvého prístupu. Maximalizovať hrany ležiace na kružnici sa nachádza v[21]. Optimalizácia pomocou neurónovej siete sa dá nájsť v [11]. Pre účely tejto práce boli implementované a testované heuristiky od Baur a Brandes, ktorú budem označovať BB a Adjacent Vertex with Smallest Degree First, ktorá má označenie AVSDF.

2.5.1 Baur a Brandes

Baur a Brandes [1] vyvinuli heuristiku, ktorá sa skladá z dvoch fáz. V prvej fáze sa pridávajú vrcholy na jednu alebo druhú stranu zoznamu už umiestnených vrcholov. Takýto postup má tri stupne voľnosti: prvý umiestnený vrchol, poradie pridávania vrcholov a na ktorú stranu pridať vrchol. V druhej fáze aplikovali lokálnu optimalizáciu, ktorú nazývajú sifting. Každý vrchol sa posúva pozdĺž pevného zoznamu až kým sa nenájde jeho najlepšia pozícia (z hľadiska počtu priesečníkov).

Algorithm 14 Simulované žihanie pre $v_2(G)$ **Require:** nastav t_0 a t_1 , koeficient chladenia α a parameter r

```

1:  $t = t_1$ 
2:  $s = s_0$ 
3: while  $t \geq t_0$  and  $\text{calc\_current\_crossings}(s, G)$  do
4:   while  $c \leq 2r$  and  $\text{calc\_current\_crossings}(s, G)$  do
5:      $c = c + 1$ 
6:     if  $c \leq r$  then
7:       vyber náhodnú hranu a umiestni do opačnej polroviny -  $u'$ 
8:        $\text{cur\_s} = (\pi, u')$ 
9:     else
10:      vyber náhodnú dvojicu vrcholov
11:      a vymeň ich pozície v permutácií -  $\pi'$ 
12:       $\text{cur\_s} = (\pi', u)$ 
13:    end if
14:     $\delta = \text{calc\_current\_crossings}(\text{cur\_s}, G)$ 
15:    -  $\text{calc\_current\_crossings}(s, G)$ 
16:    if  $\delta < 0$  then
17:       $s = \text{cur\_s}$ 
18:    else
19:      vyber náhodné číslo  $i \in \langle 0, 1 \rangle$ 
20:      if  $i < e^{-\delta/t}$  then
21:         $s = \text{cur\_s}$ 
22:      end if
23:    end if
24:  end while
25:   $t = \alpha t$ 
26:   $c = 0$ 
27: end while

```

Prvá fáza

Základná myšlienka je v celku jednoduchá. Zčať so zoznamom, ktorý obsahuje len jeden vrchol a postupne pridávať ostatné vrcholy na začiatok alebo koniec zoznamu. Počas behu algoritmu sú niektoré vrcholy umiestnené a niektoré nie. Hranu, ktorá spája umiestnený vrchol a ešte neumiestnený vrchol, budeme nazývať otvorená hrana a hranu medzi dvomi umiestnenými vrcholmi budeme volať zatvorená. Baur a Brandes experimentovali s rôznymi kritériami na odstránenie stupňov voľnosti. Najúspešnejšie boli tieto:

1. prvý umiestnený vrchol je vybraný náhodne - pri experimentoch nemal veľký vplyv na priesečníkové číslo.
2. Výber vrchola na pridanie do zoznamu: V každom kroku je vybratý

vrchol s najväčším počtom už umiestnených susedov ak nastane zhoda tak je vybratý ten, ktorý má menej ešte neumiestnených susedov.

3. Vybratý vrchol sa pridá na ten koniec zoznamu, na ktorom hrany, ktoré práve zatvára, vyprodukujú menší počet priesečníkov.

Prvá fáza môže byť implementovaná v čase $\mathcal{O}((n + m)\log n)$

Druhá fáza

Princíp siftingu je priebežne upravovať hodnotu objektívnej funkcie tak, aby jej hodnota bola aktuálna a nemusela by byť stále prepočítavaná, čo stojí $\mathcal{O}(m^2)$. Každý vrchol sa výmenami s nasledujúcim vrchol presúva pozdĺž, inak nehybného, zoznamu ostatných vrcholov, pričom sa hľadá jeho optimálne umiestnenie. Umiestnením všetkých vrcholov takýmto spôsobom je jedno kolo siftingu. Jedno kolo siftingu môže byť implementované v čase $\mathcal{O}(nm)$. Experimenty ukázali, že na dosiahnutie lokálneho minima stačí niekoľko siftingových kôl.

2.5.2 Adjacent Vertex with Smallest Degree First

AVSDF je algoritmus, ktorý navrhli Hongmei He a Ondrej Sýkora v práci [10]. Je založený na minimalizácii dĺžok hrán, ktoré z geometrického hľadiska sú sečnicami kružnice, na ktorej sú usporiadané vrcholy. Aby to dosiahli upravili algoritmus na prehľadávanie grafu do hĺbky. Začne s prehľadávaním vo vrchole s najmenším stupňom. Ako navštevuje jednotlivých susedov pridáva ich na kružnicu v poradí v akom boli navštívené. Pričom z viacerých susedov vrchola ma prednosť ten, ktorý má najmenší stupeň a ešte nebol navštívený.

Časová zložitosť $\mathcal{O}(m)$. Ak ešte pridáme počítanie priesečníkov tak $\mathcal{O}(m^2)$. Algoritmus sa dá vylepšiť druhou fázou. Nájdeme najlepšiu pozíciu vrchola z pomedzi jeho pozície a pozíciami jeho susedov. Vrcholy berieme v poradí podľa počtu priesečníkov spôsobených jeho incidentnými hranami.

Algorithm 15 AVSDF fáza 1

```
1: Inicializuj int pole positions[] a zásobník S
2: Nájdi vrchol s najmenším stupňom a vlož ho do S
3: pos = 0;
4: while pos < n do
5:   vyber vrchol v z S
6:   if v je neumiestnený then
7:     pridať positions[pos] = v
8:     pridať všetkých susedov v do S v poradí od najväčšieho stupňa
       po najmenší, tak aby na vrchole zásobníka bol sused s najmenším
       stupňom
9:   end if
10:  pos = pos + 1
11:  if S je prázdna then
12:    nájdi nenavštívený vrchol s najmenším stupňom a pridať ho do S
13:  end if
14: end while
```

Algorithm 16 AVSDF fáza 2

```
1: Pre každý vrchol vyrátaj počet priesečníkov hrán s ním incidentných
2: Vlist je zoznam vrcholov usporiadaný podľa ich priesečníkového čísla.
   Premenná currentV ukazuje na vrchol s najväčším počtom priesečníkov.
3: for each currentV ∈ Vlist do
4:   vlož všetkých susedov currentV do pomocného zoznamu.
5:   skús vymeniť pozíciu vrchola currentV so všetkými z pomocného zo-
     znamu a pre každú výmenu spočítaj počet priesečníkov.
6:   umiestni vrchol currentV na najlepšiu pozíciu.
7: end for
```

Kapitola 3

Experimenty a merania

3.1 Úvod

Na porovnanie úspešnosti prezentovaných algoritmov boli použité rôzne triedy grafov ako aj sada grafov z GDTToolkit, ktoré sa tiež nazývajú Rímske grafy. Najprv sa porovnávali heuristiky pre lineárne priesečníkové číslo s fixovaným poradím vrcholov. V druhej časti sú testované heuristiky pre lineárne priesečníkové číslo, pričom sa využívajú aj heuristiky pre konvexné priesečníkové číslo. Porovnanie heuristík pre konvexné priesečníkové číslo sa dá nájsť v [10]. Všetky algoritmy boli implementované v C++. Operačný systém, v ktorom boli algoritmy testované bol Linux.

3.2 Lineárne priesečníkové číslo s fixovaným poradím vrcholov

Na určenie fixovaného priesečníkového čísla sa testovali všetky heuristiky spomínané v časti 2.1. Algoritmy na neurónových sieťach a randomizovaná greedy boli spúšťané 10 krát pre jedno meranie, pretože ich algoritmy pracujú priamo s náhodnými číslami. V tabuľke sú minimálne hodnoty, ktoré boli dosiahnuté.

Algoritmy pre fixované priesečníkové číslo boli testované na týchto grafoch:

- Kompletné grafy K_5 až K_{70} .
- Náhodné grafy s pravdepodobnosťou výskytu hrany $p = 0,01$ a $p = 0,03$
- Hyperkocky Q_2 až Q_9 , pričom hrany boli usporiadané podľa hamiltonovskej kružnice.

V tabuľke 3.1 sú zobrazené výsledky, ktoré jednotlivé heuristiky dosiahli na úplných grafoch. Heuristika MPlanar dosiahla jasne najhoršie výsledky

graf	Up ^a	Mplanar	E-len	OnePage	HeNeural	GANeural	E-len2	Slope	RanGreedy	MaxCut
K_5	1	1	1	1	1	1	1	1	1	1
K_6	3	4	3	3	3	3	4	5	3	3
K_7	9	11	9	9	9	9	11	9	9	9
K_8	18	24	20	18	18	18	21	23	19	18
K_9	36	46	36	36	36	36	42	36	36	36
K_{10}	60	80	62	60	60	60	81	68	63	60
K_{11}	100	130	100	100	100	100	122	100	100	100
K_{12}	155	200	156	150	150	150	179	163	154	150
K_{13}	225	295	231	225	225	225	271	225	233	225
K_{14}	315	420	328	315	315	315	398	333	328	315
K_{15}	441	581	449	441	441	441	543	441	443	441
K_{16}	588	784	604	588	588	588	742	613	612	588
K_{17}	784	1036	796	784	784	784	990	784	786	784
K_{18}	1008	1344	1045	1008	1008	1008	1333	1040	1065	1008
K_{19}	1296	1716	1318	1296	1296	1296	1604	1296	1318	1296
K_{20}	1620	2160	1675	1620	1620	1620	2047	1661	1685	1620
K_{30}	9550	12740	9724	9555	9555	9555	12370	9653	9741	9555
K_{40}	32490	43320	33039	32490	32490	32490	40974	32671	32795	32490
K_{50}	82800	110400	83896	82800	82800	82800	104936	83088	83699	82800
K_{60}	176610	235480	178949	176610	176610	176610	224166	177031	178199	176610
K_{70}	333795	445060	337672	333795	333795	333795	411696	334373	336373	333795

^aHorný odhad 1.3

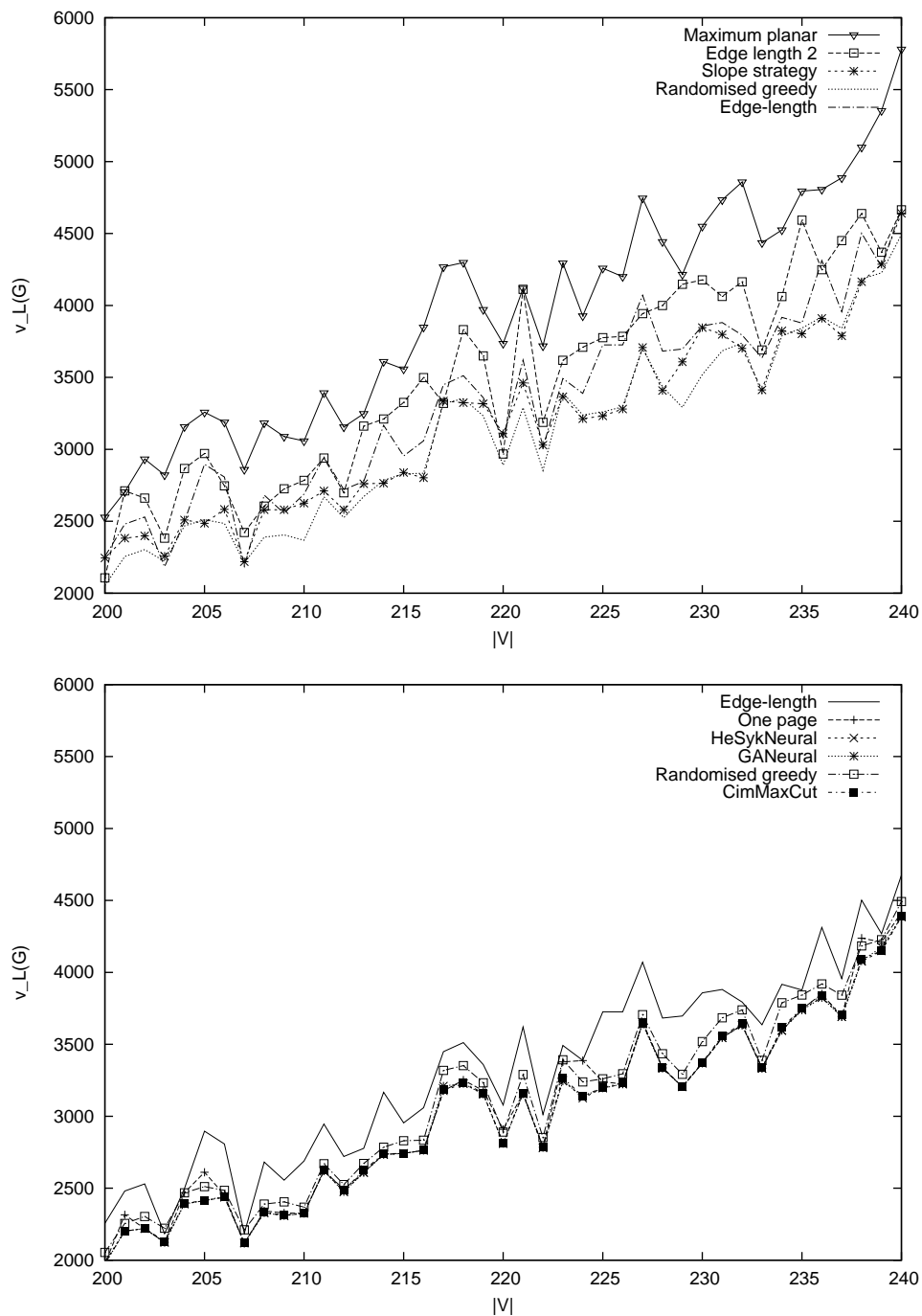
Tabuľka 3.1: Fixované lineárne priesečníkové číslo: Heuristiky na kompletných grafoch

nasledované Edge Length 2. Edge Length, Slope strategy a Randomized greedy vracali približne rovnaké výsledky ale od K_{17} Slope stratégia dávala mierne lepšie výsledky. Zvyšná skupina heuristik OnePage, HeNeural, GANeural a MaxCut dosahujú rovnaké počty priesečníkov, ktoré sa zhodujú s horným odhadom 1.3 pre kompletne grafy.

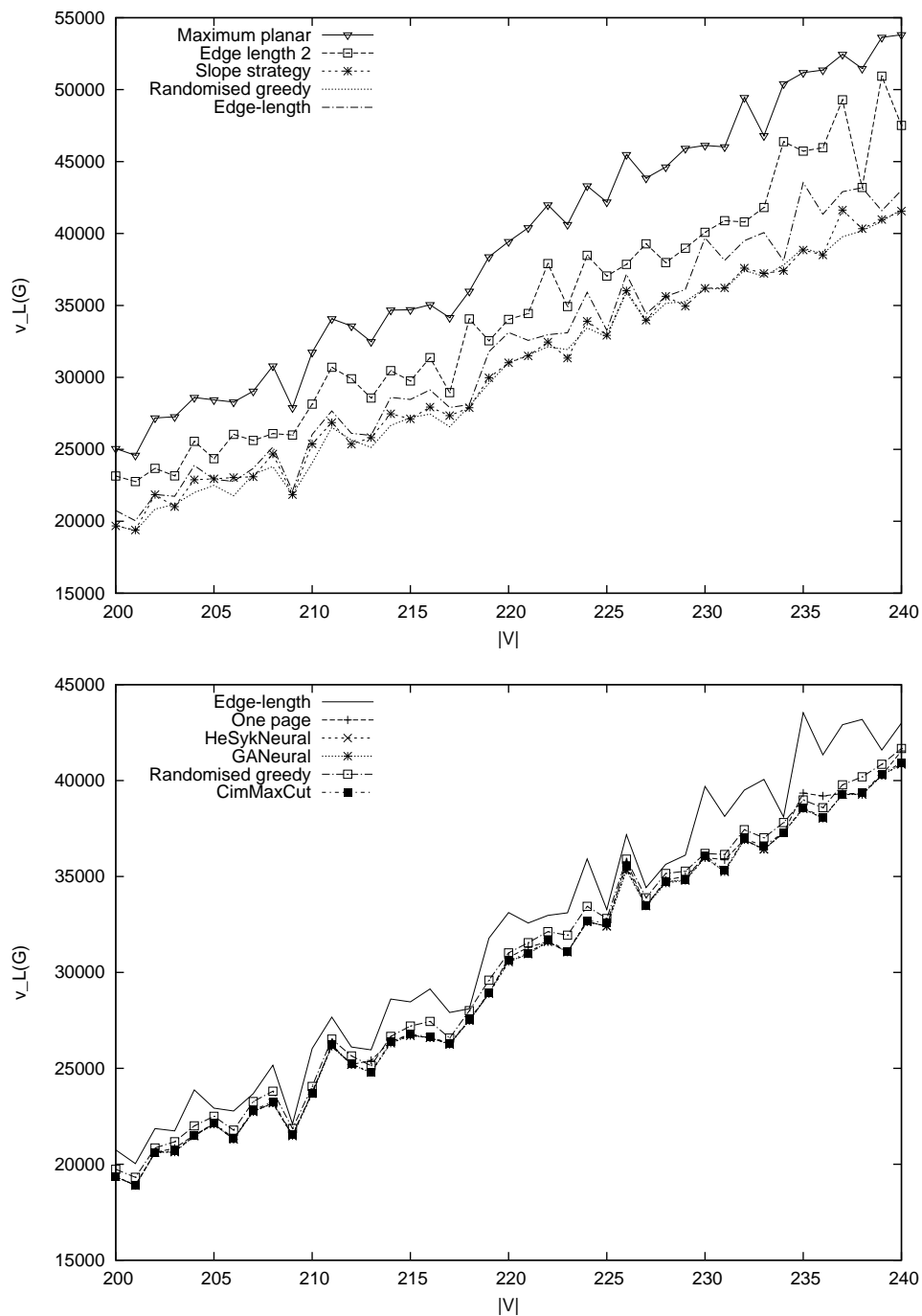
Graf 3.1 znázorňuje výsledky, ktoré dosiahli heuristiky na náhodných grafoch s pravdepodobnosťou výskytu hrany 0,01. MPlanar s relatívne veľkým odstupom zaostáva za ostatnými. Ďalšie v poradí Edge length 2, Edge length, Slope strategy a Randomized greedy. V druhej časti grafu sa ukazuje odstup randomised greedy od ostatných heuristik, ktoré v grafe splývajú do jednej čiary.

V grafe 3.2 boli aproximácie testované na náhodných grafoch s pravdepodobnosťou 0,03. Oproti predchádzajúcemu testu sa poradie nezmenilo, ale sú viditeľné väčšie rozostupy, medzi jednotlivými heuristikami. Najlepšie výsledky dosiahli heuristiky v poradí GANeural, HeSykoraNeural, CimMaxCut a One Page.

Výsledky testov na hyperkocke mierne prekonali predchádzajúce výsledky Cimikowského publikované [3]. Najlepšie vychádzala heuristika GANeural, ktorá dáva najlepšie výsledky až po Q_8 . Pre Q_9 najlepší výsledok dosiahla HeNeural. One page a MaxCut dosiahli porovnateľné hodnoty.



Obrázok 3.1: Fixované lineárne priesečníkové číslo: Náhodné grafy s pravdepodobnosťou výskytu hrany $p = 0,01$



Obrázok 3.2: Fixované lineárne priesečníkové číslo: Náhodné grafy s pravdepodobnosťou výskytu hrany $p = 0,03$

graf	Mplanar	E-len	OnePage	HeNeural	GANeural	E-len2	Slope	RanGreedy	MaxCut
Q_2	0	0	0	0	0	0	0	0	0
Q_3	0	0	0	0	0	0	0	0	0
Q_4	8	8	8	8	8	10	8	8	8
Q_5	80	64	64	62	60	72	80	64	60
Q_6	512	396	372	374	368	412	512	380	372
Q_7	2688	2038	2012	1878	1848	2100	2688	1952	1876
Q_8	12672	9372	8700	8674	8632	9426	12672	8982	8712
Q_9	56064	40864	37598	37488	37662	41086	56064	38878	37972

Tabuľka 3.2: Lineárne priesečníkové číslo hyperkocky. Poradie vrcholov určené hamiltonovskou knižnicou

3.3 Lineárne priesečníkové číslo

Pri testovaní heuristik pre lineárne priesečníkové číslo som vynechal MPlanar a Edge Length 2, ktoré v predchádzajúcich testoch nedosiahli dobré výsledky. Testované algoritmy boli 2 druhov:

- Algoritmus zložený z určenia vhodnej permutácie (konvexné priesečníkové číslo) a následne sa použije heuristika pre fixované priesečníkové číslo.
- Algoritmus, ktorý rieši permutáciu aj rozmiestnenie hrán súčasne. Popísané v kapitole 2.4

Testované heuristiky pre konvexné priesečníkové číslo boli popísané v kapitole 2.5.

Triedy grafov na ktorých sa testovalo:

- Cirkulantný graf $C_n(a_1, a_2, \dots, a_k)$, kde $0 < a_1 < a_2 < \dots < a_k < (n+1)/2$, je pravidelný hamiltonovský graf s n vrcholmi. Pre každé i vrcholy $a_1 \pm i, a_2 \pm i, \dots, a_k \pm i \pmod{n}$ sú susedné s vrcholom i .
- Kompletný p -partitný graf $K_n(p)$. Vznikne zovšeobecnením kompletneho bipartitného grafu, ktorý má p partícií a každá má n vrcholov.
- Torus $T_{n,n}$. Torus vznikne ako produkt kartézskeho súčinu cyklov $C_n \times C_n$
- grafy z GDDToolKit [6]. Sada neorientovaných grafov obsahuje 11,582 grafov, ktoré boli vygenerované z jadra 112 grafov, ktoré sa používali v skutočných aplikáciách.

V tabuľke 3.3 sú zhrnuté výsledky pre cirkulantné grafy. Podľa celkového počtu priesečníkov najlepšie výsledky dosiahla heuristika založená na simulovanom žíhaní. Za ňou nasledujú BB+MaxCut a BB+GANeural. Genetický algoritmus napriek očakávaniam z [13], nedosiahol najlepšie výsledky. Aj keď napríklad výsledok 356 genetického algoritmu pre graf $C_{26}(1,$

graf	Baur a Brandes							AVSDF							GA	SA
	E-len	OnePage	HeNeural	GANeural	Slope	RanGreedy	MaxCut	E-len	OnePage	HeNeural	GANeural	Slope	RanGreedy	MaxCut		
$C_{20}(1, 2)$	2	0	2	0	16	2	0	0	0	2	0	16	2	0	4	0
$C_{20}(1, 2, 3)$	24	24	26	24	72	22	22	24	24	24	22	72	24	22	26	20
$C_{20}(1, 2, 3, 4)$	92	84	76	70	180	80	70	70	84	78	70	180	76	70	88	70
$C_{22}(1, 2)$	0	0	2	0	18	2	0	0	0	2	0	18	2	0	2	0
$C_{22}(1, 2, 3)$	26	24	26	24	82	26	24	24	24	28	24	82	26	24	26	24
$C_{22}(1, 3, 5, 7)$	252	213	208	208	277	222	208	260	200	200	200	276	212	200	212	199
$C_{24}(1, 3)$	16	17	12	12	34	14	12	16	16	14	12	36	14	14	13	12
$C_{24}(1, 3, 5)$	87	82	78	74	126	84	74	98	78	78	72	148	78	72	76	72
$C_{24}(1, 3, 5, 7)$	275	239	214	214	289	235	214	282	228	224	216	328	230	216	236	216
$C_{26}(1, 3)$	18	17	14	12	36	14	12	18	16	16	16	40	14	16	14	12
$C_{26}(1, 3, 5)$	99	91	93	88	151	95	86	102	82	82	82	168	88	82	93	81
$C_{26}(1, 3, 5, 7, 9)$	408	377	366	367	380	388	370	440	364	364	364	430	382	364	356	359
$C_{28}(1, 2, 3, 4)$	128	126	114	98	292	112	98	98	126	116	98	292	114	98	120	99
$C_{28}(1, 3)$	18	19	16	12	40	16	12	18	18	16	16	44	16	16	14	14
$C_{28}(1, 3, 5)$	109	100	91	89	182	98	90	110	92	92	86	188	94	86	97	85
$C_{28}(1, 3, 5, 7, 9)$	659	618	620	617	717	657	626	740	560	560	560	768	570	560	719	559
$C_{30}(1, 2, 4, 5, 7)$	466	394	400	392	728	414	392	426	394	400	392	728	422	392	413	395
$C_{30}(1, 3, 5)$	118	113	103	106	208	113	100	120	96	100	96	208	100	96	108	90
$C_{30}(1, 3, 5, 8)$	399	337	343	351	453	363	341	348	298	302	298	474	320	298	358	297
$C_{32}(1, 2, 4, 6)$	204	160	178	190	408	204	160	160	160	190	190	408	198	160	204	160
$C_{34}(1, 3, 5)$	136	116	116	111	218	116	109	138	110	110	104	248	112	104	114	103
$C_{34}(1, 4, 8, 12)$	443	401	393	379	511	414	381	646	572	572	572	666	586	574	401	564
$C_{36}(1, 2, 4)$	50	36	52	36	172	50	36	36	36	52	36	172	56	36	58	36
$C_{36}(1, 3, 5, 7)$	420	335	319	318	618	338	319	428	328	328	328	664	364	328	371	327
$C_{38}(1, 4, 7)$	188	183	179	178	343	188	179	236	194	190	190	378	206	190	184	187
$C_{38}(1, 7)$	118	106	94	92	151	101	93	98	96	84	84	144	86	84	97	78
$C_{40}(1, 5)$	57	50	45	45	108	51	41	64	64	58	56	120	60	56	50	51
$C_{42}(1, 2, 4, 6)$	254	210	234	210	598	256	210	210	210	210	210	598	258	210	274	210
$C_{42}(1, 3, 6)$	176	161	146	146	360	154	147	168	158	158	154	342	160	150	169	149
$C_{42}(1, 4)$	46	42	42	41	110	45	41	42	42	42	42	102	44	42	44	39
$C_{44}(1, 4, 5)$	190	144	137	140	370	151	138	196	190	182	180	448	192	180	158	167
$C_{44}(1, 4, 7, 10)$	866	743	691	687	913	756	694	726	634	634	632	1116	658	632	728	631
$C_{46}(1, 4)$	47	45	43	41	104	42	41	46	46	48	46	114	48	46	47	43
$C_{48}(1, 5, 8)$	376	346	329	328	457	348	332	356	310	296	294	594	310	294	358	291
# priesečníkov	6767	5953	5802	5700	9722	6171	5672	6744	5850	5852	5742	10610	6122	5712	6232	5640

Tabuľka 3.3: Lineárne priesečníkové číslo pre grafy C_{20} až C_{46}

graf	Baur a Brandes							AVSDF							GA	SA
	E-len	OnePage	HeNeural	GANeural	Slope	RanGreedy	MaxCut	E-len	OnePage	HeNeural	GANeural	Slope	RanGreedy	MaxCut		
$K_3(2)$	1	1	1	3	1	1	1	1	1	1	3	1	1	1	1	1
$K_3(3)$	16	16	16	16	16	16	16	18	16	16	16	16	16	16	15	16
$K_3(4)$	97	90	87	86	91	88	86	93	90	91	86	91	90	86	85	86
$K_4(2)$	4	6	6	4	4	4	4	4	6	4	4	4	4	4	4	4
$K_4(3)$	72	68	68	68	72	68	68	72	68	66	68	72	68	68	67	66
$K_4(4)$	375	343	334	334	343	338	333	380	336	338	336	340	344	336	353	336
$K_5(2)$	16	16	16	16	16	16	16	16	16	16	16	16	16	16	16	16
$K_5(3)$	204	196	196	196	196	200	196	204	196	196	196	196	204	196	196	196
$K_5(4)$	978	915	915	918	933	940	918	977	916	916	917	937	946	919	966	917
# priesečníkov	1763	1651	1639	1641	1672	1671	1638	1765	1645	1644	1642	1673	1689	1642	1703	1638

Tabuľka 3.4: Lineárne priesečníkové číslo pre grafy $K_n(p)$

4, 7, 9) prekonal ostatné aproximácie. Podobne aj simulované žihanie sa nevyrovnalo meraniam, ktoré získali v [20]. Ani u kombinovaných heuristikách nie je jednoznačne lepší algoritmus. Napríklad pre graf $C_{44}(1, 4, 7, 10)$ sú lepšie heuristiky založené na AVSDF ale pre graf $C_{46}(1, 4)$ je to opačne.

Pre p-partitné kompletne grafy heuristiky BB+MaxCut, BB+HeNeural a SA dosiahli najlepšie výsledky ako je vidieť v tabuľke 3.4. Naopak najhoršie si počínali obidve kombinácie E-len a genetický algoritmus, pričom obidva algoritmy presiahli hranicu 1700 celkového počtu priesečníkov. Zvyšné heuristiky dosiahli mierne lepšie výsledky pri kombinácii s BB ako AVSDF.

Tabuľka 3.5 obsahuje výsledky heuristik na tórise. Konvexné priesečníkové číslo lepšie minimalizovala heuristika AVSDF. Najlepšie výsledky dosiahli algoritmy založené na neurónových sieťach(HeNeural, GANeural) spolu s redukciou na maximálny rez(MaxCut). Simulované žihanie(SA) ani v jednom prípade nezlepšilo svoje vstupné riešenie. V šiestich prípadoch najlepšie riešenie dosiahlo predpokladané hodnoty ($T_{4,4}$, $T_{6,6}$, $T_{8,8}$, $T_{10,10}$,

graf	Baur a Brandes								AVSDF								
	Opt ^a	E-len	OnePage	HeNeural	GANeural	Slope	RanGreedy	MaxCut	E-len	OnePage	HeNeural	GANeural	Slope	RanGreedy	MaxCut	GA	SA
$T_{1,4}$	8	12	12	8	8	16	8	8	8	8	8	8	8	8	8	11	8
$T_{3,5}$	15	20	22	20	20	39	21	20	26	24	20	20	38	20	20	21	20
$T_{5,6}$	24	60	69	56	56	99	63	56	24	36	24	24	62	24	24	56	24
$T_{7,7}$	35	110	84	84	83	144	91	83	60	68	48	48	134	50	48	88	48
$T_{8,8}$	48	179	153	156	153	285	168	155	48	48	48	48	184	48	48	161	48
$T_{9,9}$	63	307	281	257	261	453	281	251	108	124	88	88	314	98	88	267	88
$T_{10,10}$	80	345	273	278	278	603	315	274	80	80	80	80	398	86	80	289	80
$T_{11,11}$	99	519	461	439	431	900	482	437	170	196	140	140	602	146	140	497	140
$T_{12,12}$	120	687	576	565	556	1056	647	562	120	120	120	120	728	160	120	654	120
$T_{13,13}$	143	926	875	823	820	1588	905	829	246	284	204	204	1022	240	204	953	204
$T_{14,14}$	168	1285	1147	1071	1087	2137	1183	1070	168	518	168	168	1198	192	168	1249	168
$T_{15,15}$	195	1539	1362	1285	1269	2762	1402	1296	336	388	280	280	1598	340	280	1552	280
# priesečníkov	998	5989	5315	5042	5022	10082	5566	5041	1394	1894	1228	1228	6286	1412	1228		

^aOptimálna hodnota predpokladaná podľa vzťahu 1.4

Tabuľka 3.5: Lineárne priesečníkové číslo pre grafy $T_{4,4}$ až $T_{15,15}$

	Baur a Brandes								AVSDF							
	E-len	OnePage	HeNeural	GANeural	Slope	RanGreedy	MaxCut	E-len	OnePage	HeNeural	GANeural	Slope	RanGreedy	MaxCut	GA	SA
dosiahol min. hodnotu	0	0	0	0	0	0	0	9	36	54	44	2	33	57	0	58
# priesečníkov	2929	2565	2410	2349	4513	2553	2304	939	769	722	733	1188	753	719	2552	718

Tabuľka 3.6: Zhrnuté výsledky pre grafy s 50 vrcholmi zo sady GDToolkit

$T_{12,12}, T_{14,14}$).

Z testovanej sady neorientovaných grafov som vyhodnotil heuristiky na grafoch s 50 vrcholmi, ktorých spolu bolo 59. Tabuľka 3.6 obsahuje zhrnutie. Prvý riadok obsahuje koľko krát dosiahla heuristika najmenšiu hodnotu. Simulované žihanie dosiahlo minimálne hodnoty až 58 krát. Keďže počiatkové riešenie bolo získané pomocou heuristiky AVSDF+GANeural, ktorá dosiahla iba 44 krát minimum, SA sa ukázala ako prínos. Druhá v poradí kombinácia AVSDF+MaxCut. Algoritmy založené na BB dosiahli o rád horšie výsledky a takisto aj genetický algoritmus.

3.4 Zhrnutie

Z greedy heuristik určených na lineárne priesečníkové číslo s pevným poradím vrcholov je relatívne najlepšou OnePage. Nedosahovala síce vždy minimálne hodnoty ale na rôznych triedach grafov si zachovávala rovnaké umiestnenie v poradí. Je nutné podotknúť, že veľmi pomohla fáza opakovaného umiestnenia hrán, ktorá konštantne (10-krát) zvýši čas behu algoritmu. Neurónové siete, ktoré sa spolu MaxCut algoritmom striedali vo vedení, dobre aproximovali kompletne grafy a hyperkocky a celkovo patria k najlepším aproximáciám, ktoré som testoval. MaxCut stabilne dosahoval najlepšie alebo veľmi dobré výsledky na všetkých testovaných grafoch. Heuristika AVSDF dosiahla rovnaké alebo lepšie výsledky ako BB pri heuristikách pre lineárne priesečníkové číslo. Genetický algoritmus nepodával výsledky podľa očakávaní. Iba v niekoľkých prípadoch sa mu podarilo dodať najlepší výsledok, inak vykazoval podobné výsledky ako greedy algoritmy. Simulované žihanie ako zlepšujúca heuristika úspešne zvládla test na rímskych a cirkulantných

grafoch, ale nepriniesla žiadne zlepšenie na tórusoch. Čas behu je okrem veľkosťou grafu aj silne ovplyvnený parametrami ochladzovania, ktoré môžu čas značne predĺžiť. V praktických aplikáciách nemusí byť takéto predĺženie vhodné.

Kapitola 4

Záver

V prvej kapitole som uviedol do problému minimalizácie priesečníkového čísla grafu a poukázal na jeho NP-úplnosť. V dôsledku zložitosti všeobecného problému som spomenul niektoré varianty priesečníkového čísla s istými obmedzeniami ako sú napríklad rektilineárne priesečníkové číslo a konvexné priesečníkové číslo. Podrobnejšie som definoval problém minimalizácie lineárneho priesečníkového čísla s voľným a pevným poradím vrcholov (tzv. fixované lineárne priesečníkové číslo).

V druhej kapitole som popísal niekoľko heuristík a aproximácií na riešenie problému stanoveného v predchádzajúcej kapitole. V prvej časti sa nachádzajú algoritmy pre fixované poradie vrcholov. Tento problém sa zdal byť jednoduchší, pretože algoritmy musia iba rozmiestniť hrany do dvoch polrovín. Študované boli základné greedy metódy, ktoré rozdeľovali hrany podľa zvolených kritérií ako dĺžka hrany, sklon hrany pri nakreslení grafu na kružnicu alebo v snahe oddialiť vznik priesečníka prípadne postupné zlepšovanie najhoršieho možného usporiadania. Aproximácie s iným prístupom sú popísané v ďalšej časti. Využívajú neurónovú sieť, presnejšie Hopfieldovu symetrickú neurónovú sieť a jej schopnosť minimalizovať jej energetickú funkciu. Obidva algoritmy založené na neurónovej sieti obdobne formulujú energetickú funkciu, prvý z algoritmov využíva vzťahy neurodynamiky, druhý sa presnejšie pridrža hopfieldovho modelu. Pri minimalizácii môže neurónová sieť uviaznuť v lokálnom minime, čo oba algoritmy riešia rozdielne. Prvý používa techniku hill-climbingu, zatiaľ čo druhý sa snaží “vypĺňať údolia energetickej funkcie” tzv gradient ascent learning metódou. Problém minimalizácie fixovaného lineárneho priesečníkového čísla sa dá transformovať na problém nájdenia maximálneho rezu v grafe. Čo je známy NP-úplný problém. Na aproximáciu tohoto problému som použil znáhodnený algoritmus, ktorý je založený na semidefinitnom programovaní a ktorého stredná hodnota riešenia je najmenej 0,87856 krát hodnota optimálneho riešenia.

V druhej časti druhej kapitoly sa venujem algoritmom, ktoré sa snažia riešiť aj usporiadanie vrcholov na priamke. Základným nástrojom v tom-

to prípade bola pravdepodobnosť, pretože obidva algoritmy sú založené na stochastickom princípe. Prvý z nich je genetický algoritmus. Algoritmy tejto triedy sa zaraďujú medzi globálne optimalizátory. Genetický algoritmus simuluje správanie sa živých organizmov, čo sa týka dedičnosti. Na začiatku sú v populácii jedince, ktoré predstavujú zakódované riešenie problému a postupne sa z nich pomocou rekombinácie a mutácie vytvárajú nové jedince. Pravdepodobnosť, že jedinec bude vybratý na takýto proces priamo úmerne závisí od jeho fitness hodnoty. V tomto prípade fitness funkcia zohľadňuje počet priesečníkov. Druhým algoritmom je simulované žihanie. Na začiatku máme nakreslenie grafu s určitým počtom priesečníkov. Náhodne urobíme zmenu v tomto nakreslení. Ak táto zmena zníži počet priesečníkov tak nové riešenie akceptujeme. Ak nezníži tak ho akceptujeme iba s určitou pravdepodobnosťou. Tretia časť druhej kapitoly obsahuje aproximácie konvexného priesečníkového čísla. Konvexné priesečníkové číslo je podproblém lineárneho priesečníkového čísla pretože určuje permutáciu vrcholov. Vybral som dva algoritmy. Prvý z nich sa snaží postupne pridávať vrcholy na kružnicu, tak aby susedné vrcholy boli k sebe čo najbližšie, čo znižuje pravdepodobnosť že hrany medzi nimi budú mať priesečník. Druhý sa tiež pokúša minimalizovať dĺžku hrán, pomocou modifikácie prehľadávania grafu do hĺbky.

Experimentálne porovnanie je zhrnuté v tretej kapitole. Najprv som porovnával heuristiky pre fixované lineárne priesečníkové číslo. Porovnanie algoritmov som vykonal na kompletných grafoch, hyperkockách a náhodných grafoch. Algoritmy pre lineárne priesečníkové číslo som spustil na cirkulantných grafoch, tórise, kompletných p -partitných grafoch a na sade rímskych grafov.

Zoznam tabuliek

2.1	Parametre použité pri testovaní algoritmu HeNeural	17
2.2	Parametre použité pri testovaní algoritmu GANeural	20
2.3	Parametre použité pri testovaní genetického algoritmu	24
2.4	Parametre použité pri testovaní simulovaného žihania	25
3.1	Fixované lineárne priesečníkové číslo: Heuristiky na komplet- ných grafoch	30
3.2	Lineárne priesečníkové číslo hyperkocky. Poradie vrcholov určené hamiltonovskou knižnicou	33
3.3	Lineárne priesečníkové číslo pre grafy C_{20} až C_{46}	34
3.4	Lineárne priesečníkové číslo pre grafy $K_n(p)$	34
3.5	Lineárne priesečníkové číslo pre grafy $T_{4,4}$ až $T_{15,15}$	35
3.6	Zhrnuté výsledky pre grafy s 50 vrcholmi zo sady GDToolkit	35

Zoznam obrázkov

1.1	Znázornenie polohy vrcholov pri priesečníku dvoch hrán . . .	10
2.1	Transformácia FLCNP na maximálny rez	21
3.1	Fixované lineárne priesečníkové číslo: Náhodné grafy s pravdepodobnosťou výskytu hrany $p = 0,01$	31
3.2	Fixované lineárne priesečníkové číslo: Náhodné grafy s pravdepodobnosťou výskytu hrany $p = 0,03$	32

Literatúra

- [1] BAUR, M., AND BRANDES, U. Crossing reduction in circular layouts.
- [2] BORCHERS, B. CSDP, a C library for semidefinite programming. *Optimization Methods and Software* 11 (1999).
- [3] CIMIKOWSKI, R. Algorithms for the fixed linear crossing number problem. *Discrete Appl. Math.* 122, 1-3 (2002), 93–115.
- [4] CIMIKOWSKI, R., AND MUMEY, B. Approximating the fixed linear crossing number. *Discrete Appl. Math.* 155, 17 (2007), 2202–2210.
- [5] A C library for semidefinite programming. <https://projects.coin-or.org/Csdp/>.
- [6] GDToolkit. <http://www.dia.uniroma3.it/~gdt/>.
- [7] GOEMANS, M. X., AND WILLIAMSON, D. P. Improved approximation algorithms for maximum cut and satisfiability problems using semidefinite programming. *J. ACM* 42, 6 (1995), 1115–1145.
- [8] GUY, R., JENKYN, T., AND SCHAEER, J. The toroidal crossing number of the complete graph. *Comb. Theory* 4 (1968), 376–390.
- [9] HARARY, F., KAINEN, P., AND SCHWENK, A. Toroidal graphs with arbitrarily high crossing numbers. *Nanta Math* 6 (1997), 58–67.
- [10] HE, H., AND SÝKORA, O. New circular drawing algorithms. In *Proceedings of the Workshop on Information Technologies - Applications and Theory (ITAT)* (September 2004).
- [11] HE, H., AND SÝKORA, O. A hopfield neural network model for the outerplanar drawing problem. *Lecture Notes in Engineering and Computer Science Number 62* (2007).
- [12] HE, H., SÝKORA, O., AND MÄKINEN, E. An improved neural network model for the two-page crossing number problem. *IEEE transactions on neural networks* 17, 6 (2006).

- [13] HE, H., SÝKORA, O., SALAGEAN, A., AND MÄKINEN, E. Parallelisation of genetic algorithms for the 2-page crossing number problem. *J. Parallel Distrib. Comput.* 67, 2 (2007), 229–241.
- [14] HIRSCH, M. W. Convergent activation dynamics in continuous time networks. *Neural Netw.* 2, 5 (1989), 331–349.
- [15] HOPFIELD, J. J. Neurons with graded response have collective computation properties like those of two-state neurons. *Proc. Nat. Acad. Sci. U.S.* 81 (1982).
- [16] KOCÚROVÁ, H. Analysis of algorithms for computing the crossing number. Master's thesis, Univerzita Komenského, Bratislava, 2007.
- [17] LONG WANG, R., AND TANG, Z. A parallel algorithm for fixed linear crossing number problem. *International Journal of Computer Science and Network Security* 6, 11 (2006).
- [18] M. R. GAREY, D. S. J. Crossing number is np-complete. *SIAM Journal on Algebraic and Discrete Methods* 4, 3 (1983), 312–316.
- [19] MÄKINEN, E. On circular layouts. *International Journal of Computer Mathematics* 24 (1988).
- [20] PORANEN, T., MÄKINEN, T., AND HE, H. A simulated annealing algorithm for the 2-page crossing number problem. *Proceedings of INOC* (2007).
- [21] SIX, J., AND TOLLIS, I. Circular drawings of biconnected graphs. *LNCS 1619* (1999).
- [22] TAKEFUJI, Y. Design of parallel distributed cauchy machines. *Neural Network Parallel Computing* (1992).
- [23] WINTERBACH, W. The crossing number of a graph in the plane. Master's thesis, University of Stellenbosch, South Africa, 2005.